



Объединенный Институт Ядерных Исследований

Измерения магнитной оптики в Бустере.
Перспективы измерений в Коллайдере

М. М. Шандов от лица коллектива

Дубна, 2023

1 Введение

2 Методика эксперимента

3 Работа с ПО

Требования к ПО

Создание и отладка ПО

4 Измерение дифференциальных орбит

5 Анализ результатов

Полярность корректирующих магнитов

Матрица отклика орбиты (МОО)

Моделирование

Дисперсионная функция

Связь движений

Настройка проектной рабочей точки $\nu_x/\nu_y = 4,80/4,85$

6 Выводы



Цель: измерение оптических функций и коррекция орбиты в инжекционном комплексе NICA в период ПНР №3 и 4

- Бустер
- Нуклотрон

Задачи:

- 1 Разработать методику эксперимента
- 2 Подготовить требуемое ПО
- 3 Отладка ПО и оборудования
- 4 Измерение дифференциальных орбит в горизонтальной и вертикальной плоскостях
- 5 Верификация математических моделей установки
- 6 Сравнение расчётных и экспериментальных данных



Введём понятие дифференциальной орбиты

$$X_i^{diff} = X_i^{pert} - X_i^{init}, \quad (1)$$

где X^{pert} и X^{init} – возмущенная и невозмущенная орбиты, соответственно; i – номер цикла измерений.



Введём понятие дифференциальной орбиты

$$X_i^{diff} = X_i^{pert} - X_i^{init}, \quad (1)$$

где X^{pert} и X^{init} – возмущенная и невозмущенная орбиты, соответственно; i – номер цикла измерений.

Методика:

- ① измерить невозмущенную орбиту X_1^{init}
- ② создать возмущение
- ③ измерить возмущенную орбиту X_1^{pert}
- ④ снять возмущение
- ⑤ измерить невозмущенную орбиту X_2^{init}
- ⑥ создать возмущение противоположного знака
- ⑦ измерить возмущенную орбиту X_2^{pert}
- ⑧ снять возмущение
- ⑨ проверка $X_1^{diff} = -X_2^{diff}$



Автоматическая система управления (АСУ) Бустера реализована на базе системы *Tango-controls* в виде трёх уровней:

- ① уровень доступа к оборудованию
- ② сервисный уровень (сбор данных и первичная обработка)
- ③ клиентский уровень (предоставляет оператору средства для управления и диагностики)



Автоматическая система управления (АСУ) Бустера реализована на базе системы *Tango-controls* в виде трёх уровней:

- ① уровень доступа к оборудованию
- ② сервисный уровень (сбор данных и первичная обработка)
- ③ клиентский уровень (предоставляет оператору средства для управления и диагностики)

Необходимое ПО:

- показания мониторов положения пучка (МПП)
- управление корректирующими магнитами (корректорами)
- управление ускоряющей (ВЧ) системой
- интенсивность циркулирующего пучка (FCT, РСТ)



Автоматическая система управления (АСУ) Бустера реализована на базе системы *Tango-controls* в виде трёх уровней:

- ① уровень доступа к оборудованию
- ② сервисный уровень (сбор данных и первичная обработка)
- ③ клиентский уровень (предоставляет оператору средства для управления и диагностики)

Необходимое ПО:

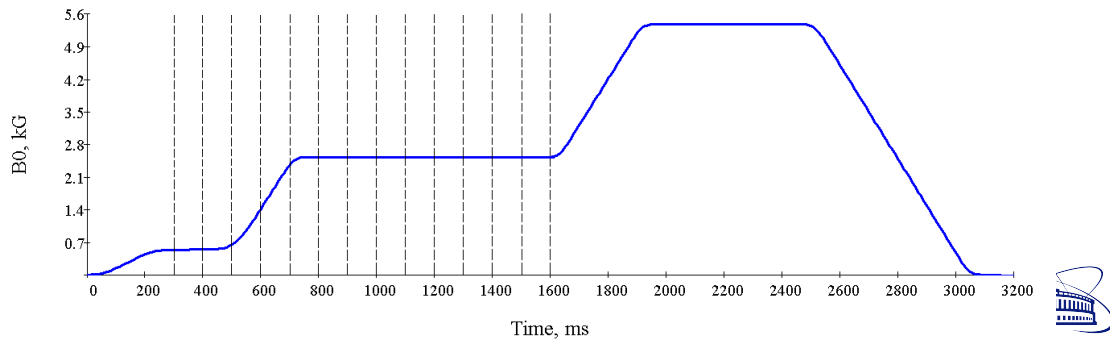
- показания мониторов положения пучка (МПП)
- управление корректирующими магнитами (корректорами)
- управление ускоряющей (ВЧ) системой
- интенсивность циркулирующего пучка (FCT, РСТ)

Требования к ПО:

- отображение текущего состояния устройства управления
- сохранение данных в файл



- Разработка *Tango*-устройства записи показаний 24 МПП в каждой из плоскостей
- запись данных каждые 100 мсек за время рабочего цикла
- устранение пульсаций источников питания (ИП) корректоров на малых токах
- работа с ПО управления ИП корректоров в ручном режиме
- разработка *Tango*-устройства автоматического управления ИП корректоров для реализации алгоритма снятия диф. орбит



Измерение дифференциальных орбит

Главные цели:

- ПНР №3: апробация методики, подготовка и отладка ПО, оборудования и систем диагностики
- ПНР №4: отработка методики, проверка ПО, набор данных, измерения на Нуклotronе

Возмущающая сила: корректирующие дипольные магниты (ток питания обмоток $\pm 0,7 \div 1 \text{ A}$) или ускоряющая система



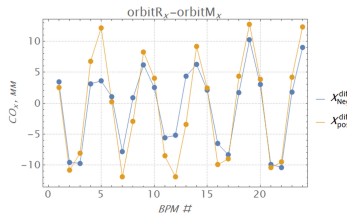
Измерение дифференциальных орбит

Главные цели:

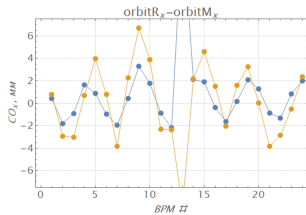
- ПНР №3: апробация методики, подготовка и отладка ПО, оборудования и систем диагностики
- ПНР №4: отработка методики, проверка ПО, набор данных, измерения на Нуклotronе

Возмущающая сила: корректирующие дипольные магниты (ток питания обмоток $\pm 0,7 \div 1 \text{ A}$) или ускоряющая система

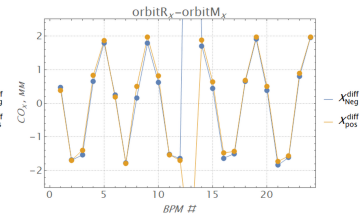
Корректор 2S1H. Рабочая точка: $\nu_x/\nu_y = 4,88/5,39$



Шаг 1



Шаг 3

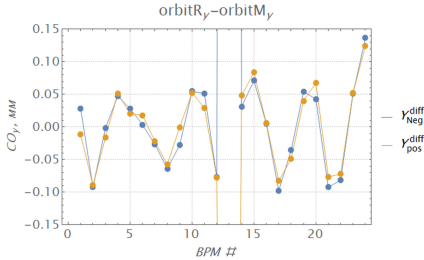
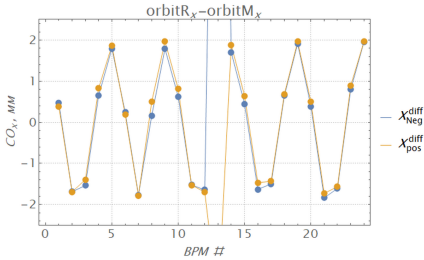


Шаг 5

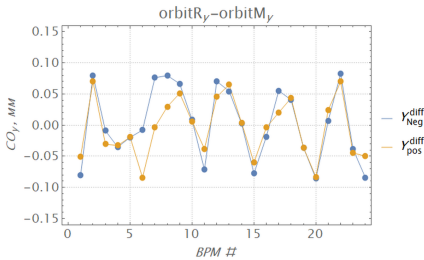
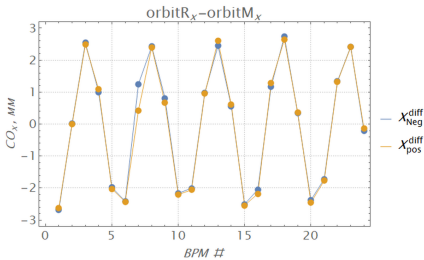


Измерение дифференциальных орбит

2S1H, шаг 5

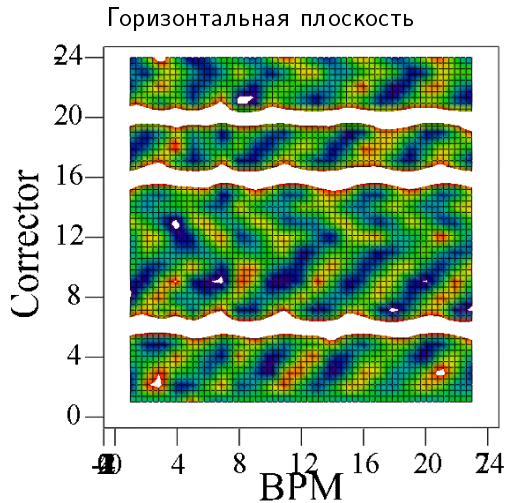


1S1V, шаг 5

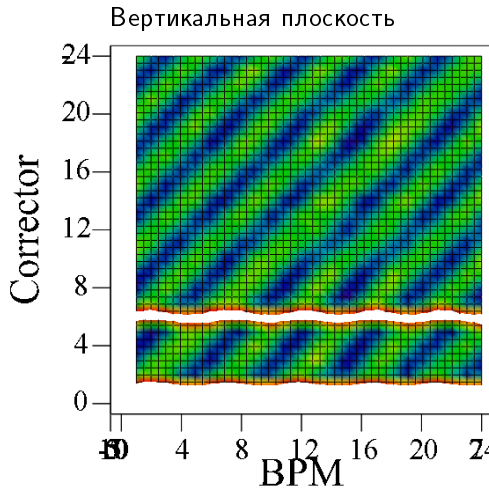
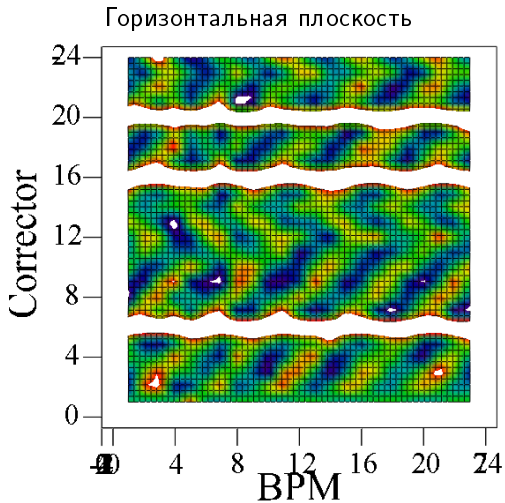


Анализ результатов

Полярность корректирующих магнитов



Полярность корректирующих магнитов



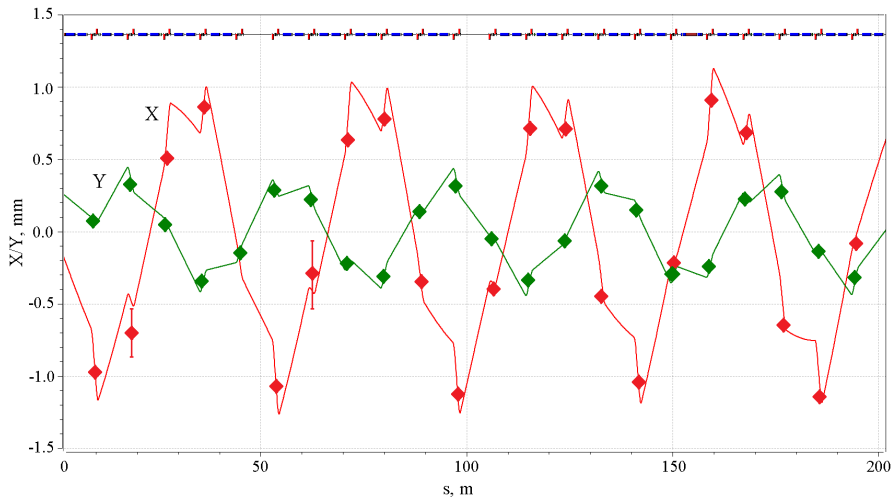
По определению:

$$\begin{pmatrix} R_{xx} & R_{xy} \\ R_{yx} & R_{yy} \end{pmatrix} \begin{pmatrix} \theta_x \\ \theta_y \end{pmatrix} = \begin{pmatrix} x \\ y \end{pmatrix} \text{ или } \vec{z} = \mathbf{R}\vec{\Theta},$$

$$\text{где } R_{zz,ij} = \frac{Z_i^{diff}}{\theta_{z;j}}, R_{xy,ij} = \frac{X_i^{diff}}{\theta_{y;j}}, R_{yx,ij} = \frac{Y_i^{diff}}{\theta_{x;j}}$$

- Реализовано и апробировано ПО для автоматического измерения МОО
- Время измерений на Бустере составило $\approx 30 \div 40$ мин

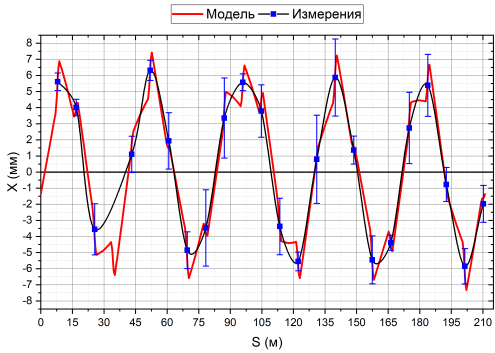




- согласованность с моделью с точностью < 1%
- $L_{eff}^{corr} = 0,25$ м согласуется с 3Д-моделированием

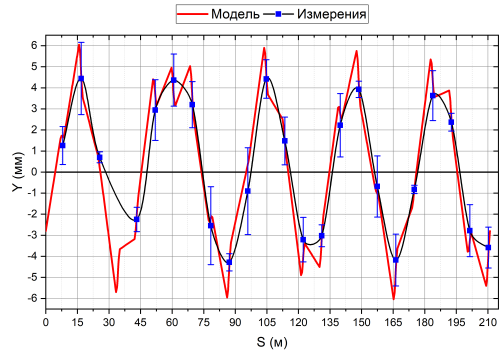


2S5H

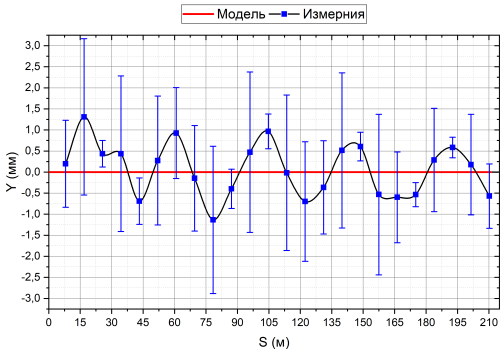


Рабочий ток 1 А

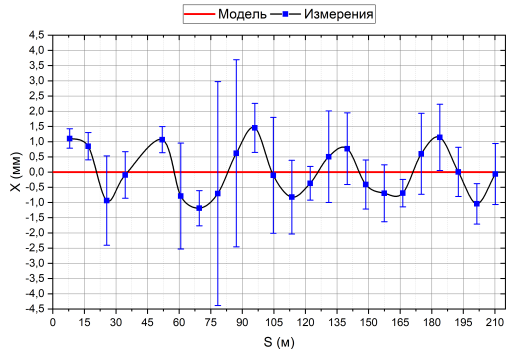
2S1V



2S5H



2S1V



Анализ результатов позволяет определить источники связи поперечных движений



В линейном приближении:

$$\Delta x(s) = D_x(s) \frac{\Delta p}{p}, \quad (2)$$

$$D_x(s) = -\eta \frac{\Delta x(s)}{\Delta f/f_0}, \quad (3)$$

где $\eta = \alpha - 1/\gamma^2$; $\Delta f/f_0$ – изменение частоты обращения; α – коэффициент расширения орбит.

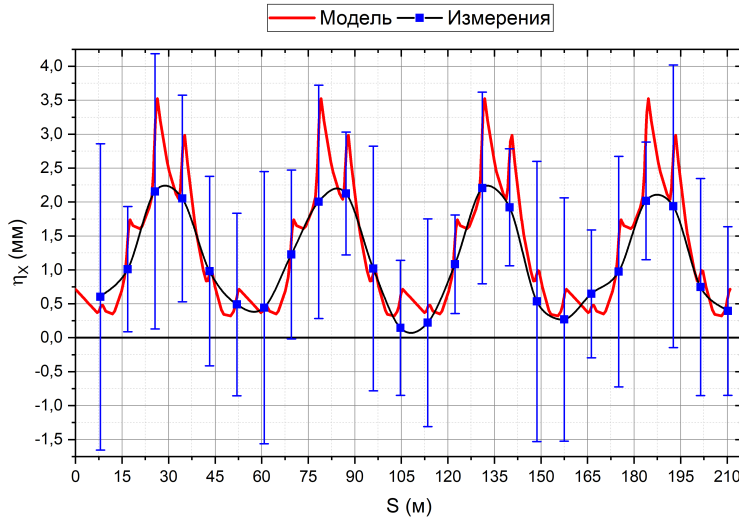
Пример: для пучка ионов $^{12}\text{C}^{4+}$

Изменение частоты при измерениях: $580,25 \pm 1,58$ кГц с шагом 0,53 кГц.

Соответствует изменению энергии: $3,144 \pm 0,018$ МэВ/нуклон с шагом 0,006 МэВ/нуклон



Дисперсионная функция



- согласованность с моделью в областях $D_x > 1$ м с точностью $< 1\%$.
Коррекция ЗО повышает точность измерений и сходимость с моделью

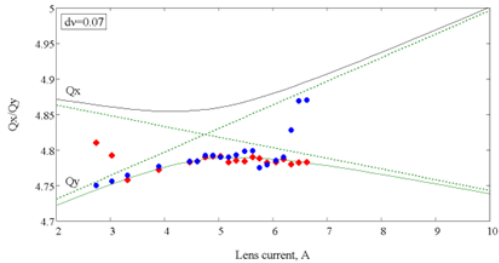
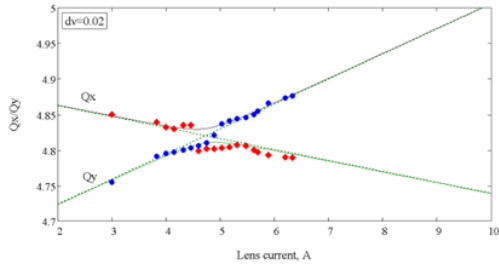


В линейном приближении:

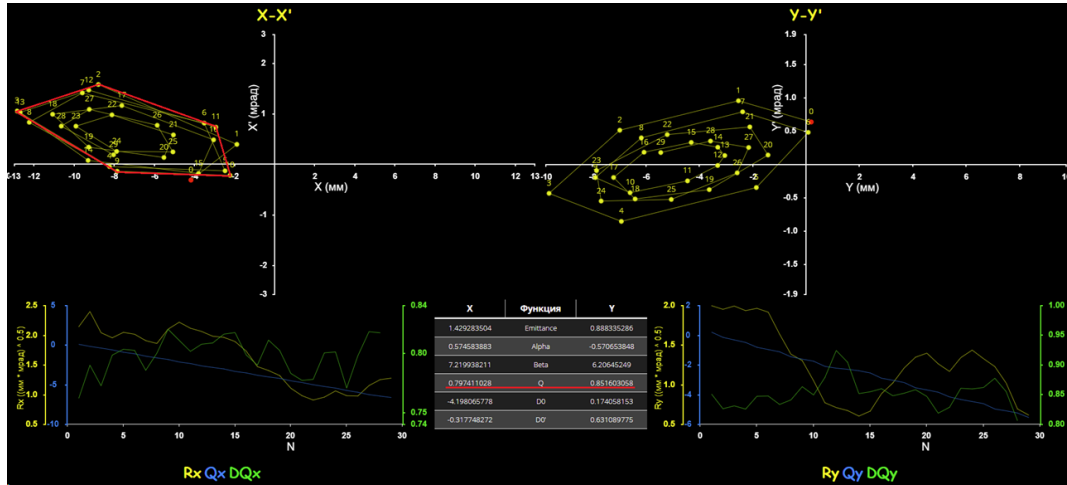
$$Q_{x,y} = \frac{1}{2} \left(Q_x + Q_y \pm \sqrt{\Delta^2 + |d\nu|^2} \right),$$

где $\Delta = Q_x - Q_y$ – разность частот бетатронных колебаний в отсутствии связи движений; $d\nu$ – параметр связи.

- оценка проводилась по фазовым профилям пучка
- соленоид СЭО выкл. $d\nu = 0,02$
- соленоид СЭО 0,5 Гц $d\nu = 0,07$, теоретические оценки ($d\nu = -0,02$)
- диф. орбиты позволяют определить источники связи движений
- необходим** Q-метр



Настройка проектной рабочей точки $\nu_x/\nu_y = 4,80/4,85$



Настройка положения рабочей точки в ПНР №4 выполнена по модели
 $\nu_x/\nu_y \approx 5,17/5,20$



Выводы

Бустер Достижения:

- ✓ Разработано и внедрено ПО для измерения дифференциальных орбит и МОО.
Работает довольно стабильно
- ✓ Повторяемость показаний МПП в пределах $\pm 0,2$ мм
- ✓ Tango-устройства адаптированы для работы с мониторингом ЗО на протяжении всего цикла ускорения и для коррекции ЗО во всех требуемых режимах
- ✓ Реализованы измерения дифференциальных орбит и МОО (время измерений составило $\approx 30 \div 40$ мин)
- ✓ Проведена проверка полярности корректоров:
 - Ошибки в подключении (распайка/коммутация)
 - Возможность и необходимость аналогичных исследований на других установках ускорительного комплекса
- ✓ Получена МОО для дальнейших работ по коррекции орбиты
- ✓ Выполнено сравнение измеренных дифференциальных орбит с моделью:
 - Согласованность с точностью $< 1\%$;
 - $L_{eff}^{corr} = 0,25$ м вместо 0,32 м согласно ТЗ



Бустер Достижения:

- ✓ Выполнены измерения и сравнения с расчетами всех режимов коррекции (включая работу корректоров электронного пучка СЭО), экспериментально показана возможность коррекции ЗО (доклад Николайчука И.Ю.)
- ✓ Измерена функция дисперсии. Согласованность с моделью при $D_x > 1$ м с точностью $< 1\%$
- ✓ Для оценки коэффициента связи движений **необходимо** дополнительное исследование с использованием Q-метра. Измеренные дифференциальные орбиты позволяют определить источники связи движений
- ✓ Показана возможность настройки рабочей точки используя разработанную модель:
 - Проектная рабочая точка $\nu_x/\nu_y = 4,80/4,85$ в ПНР №3
 - Рабочая точка в ПНР №4 $\nu_x/\nu_y \approx 5,17/5,20$
 - *Невозможность настройки проектной рабочей точки при работе с пучками тяжелых ионов в текущей конфигурации системы электропитания*



Бустер Проблемы:

- ① Источники питания корректоров работают нестабильно. Нет возможности их использования в течение длительного времени
- ② Корректор 1S6 отсутствует, 4S2 не работал на протяжении всего сеанса. Их отсутствие ограничивает возможности коррекции
- ③ Для коррекции орбиты на энергии инжекции до 1—2 мм необходима возможность работы с токами в корректорах 0,1—0,2 А



Имеющиеся достижения по настройке установки получены с использованием разработанного ПО и модели магнитооптической структуры, учитывающей результаты магнитных измерений, что в значительной мере сэкономило рабочее время. Для дальнейших работ по настройке проектных параметров инжекционного комплекса и Коллайдера NICA необходимо развитие имеющихся и построение аналогичных моделей для всех элементов



Имеющиеся достижения по настройке установки получены с использованием разработанного ПО и модели магнитооптической структуры, учитывающей результаты магнитных измерений, что в значительной мере сэкономило рабочее время. Для дальнейших работ по настройке проектных параметров инжекционного комплекса и Коллайдера NICA необходимо развитие имеющихся и построение аналогичных моделей для всех элементов

Для этого требуется:

- ① **закончить** подготовку сводного протокла магнитных измерений элементов Бустера для всего диапазона рабочих токов (сейчас имеется данные только для магнитной жесткости 1,6 и 25,0 Тл·м)
- ② дальнейшее развитие ПО для применения на всех элементах инжекционного комплекса
- ③ подготовить сводный протокол магнитных измерений элементов Коллайдера для всего диапазона рабочих энергий (сейчас имеется данные только для 1,0, 3,0 и 4,5 ГэВ/нуклон ионов $^{197}\text{Au}^{31+}$)
- ④ создание модели магнитооптической структуры Коллайдера, учитывающей результаты магнитных измерений
- ⑤ разработка аналогичного ПО для Коллайдера



СПАСИБО ЗА ВНИМАНИЕ !!!

